

ности на потери энергии на большие сдвиговые деформации в выбрасываемом объеме грунта, что приводит к аналогичной зависимости  $S_b(W)$ , четко просматриваемой на приведенных графиках. Отметим, что эффективность взрыва на выброс возрастает с ростом влажности до определенного значения  $W_*$ , оптимального для данного вида грунта. Дальнейшее ее увеличение ухудшает результаты взрывов на выброс — возникают эффекты всучивания и разжижения грунтов. Более подробно указанные эффекты описаны в [8]. Такая немонотонность влияния влажности на результат взрыва может быть объяснена следующим образом. Вначале с увеличением влажности возрастают необратимые деформации грунта при одновременном уменьшении затрат энергии. Здесь влажность играет роль смазки между частицами грунта, облегчая их переукладку в процессе уплотнения и сдвига. Однако дальнейшее влагонасыщение приводит к существенному возрастанию упругой составляющей в общей деформации грунта. Необратимые деформации постепенно исчезают, а грунт приближается по свойствам к малосжимаемой среде, так как сжимаемость воды и минералов весьма мала, что приводит, в частности, и к падению эффективности взрыва на выброс.

Поступила в редакцию 28/V 1984

#### ЛИТЕРАТУРА

1. А. Н. Ромашов, В. Ф. Евменов, В. М. Чубаров.— В кн.: Использование взрыва в народном хозяйстве. Ч. 3. Киев: Наукова думка, 1970.
2. А. А. Вовк, А. Г. Смирнов, В. Г. Кравец. Динамика водонасыщенных грунтов. Киев: Наукова думка, 1975.
3. А. В. Михалюк.— В кн.: Взрывное дело, № 81/38. М.: Недра, 1979.
4. А. Н. Ромашов. Особенности действия крупных подземных взрывов. М.: Недра, 1980.
5. О. А. Арутюнов, С. С. Григорян, Р. З. Камалян. Гидротехника и мелиорация, 1981, 3.
6. Р. З. Камалян.— В кн.: Действие взрыва в грунтах и горных породах. Киев: Наукова думка, 1982.
7. С. С. Григорян. ПМТФ, 1962, 2.
8. О. А. Арутюнов, С. С. Григорян, Р. З. Камалян. Изв. АрмССР. Механика, 1981, 6.

#### РАСПРОСТРАНЕНИЕ ГАЗОВОЙ ДЕТОНАЦИИ ПРИ ОДНОВРЕМЕННОМ ИЗМЕНЕНИИ СЕЧЕНИЯ ТРУБЫ И СОСТАВА СМЕСИ

A. A. Васильев

(Новосибирск)

Любое воздействие на самоподдерживающуюся детонационную волну — изменение сечения трубы, состава смеси, дополнительный подвод или отвод тепла и т. д. — приводит к неустановившемуся переходному режиму распространения. Результатом такого воздействия могут быть нестационарные пересжатие или затухание детонационной волны, а также в зависимости от степени воздействия формирование нового квазистационарного режима распространения.

В данной работе рассмотрен один из типов комплексного воздействия на детонационную волну: геометрическое за счет резкого расширения сечения трубы и химическое за счет изменения состава смеси. В отдельности геометрическое воздействие на детонационную волну для газов и жидкостей ВВ гомогенного состава в настоящее время хорошо известно (например, [1, 2]): при резком расширении диаметра  $d$  заряда — «переход» из трубки в объем (в дальнейшем выход) — квазиплоская детонационная волна затухает при  $d < d_{**}$  и трансформируется в сферическую при  $d \geq d_{**}$ . Диаметр заряда  $d_{**}$  называется критическим диаметром выхода.

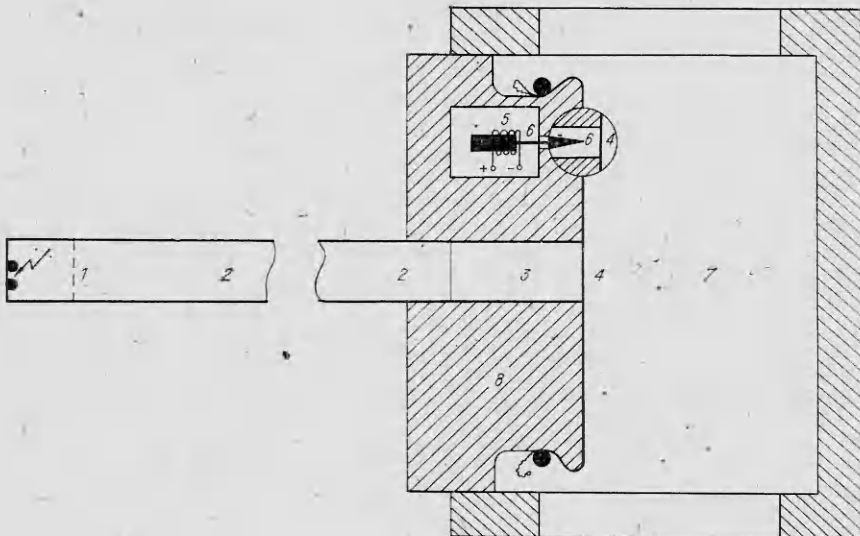


Рис. 1.

Химическое воздействие, когда детонационная волна переходит из одной газовой смеси в другую, экспериментально практически не изучено. Следует отметить лишь работу [3], в которой с помощью метода следовых отпечатков исследовалось поведение ячеистой структуры фронта детонации вблизи границы раздела газовых смесей в трубе постоянного сечения. В этих экспериментах использовалась смесь  $2\text{H}_2 + \text{O}_2$ , разбавленная Ar или He. По признанию авторов этой статьи, границей раздела являлась протяженная вдоль оси трубы зона диффузионного перемешивания газов с градиентом плотности по длине зоны.

Выход детонации из трубы в объемы, заполненные одинаковой смесью, в последние годы привлек внимание исследователей как один из способов возбуждения сферической детонации. В связи с этим возникает вопрос об энергетическом эквиваленте данного источника инициирования по сравнению с другими: зарядом твердого ВВ, взрывающейся проволочкой, электрической искрой и т. п. На роль энергии инициирования при этом могут претендовать кинетическая и тепловая энергия продуктов детонации, химическая энергия смеси и т. д.

**Эксперимент.** На рис. 1 представлена схема экспериментальной установки, использованной в данной работе. Металлическую трубку 2 длиной 1500 и диаметром 26 мм и цилиндрический объем 7 с прозрачными окнами (диаметр и длина объема равны 190 мм) соединяли друг с другом с помощью фланца 8 (диаметр фланца 150 мм). Поверхность фланца являлась плоскостью раздела взрывчатых смесей. Для первоначального отделения смесей использовали сильно растянутую по плоскости фланца тонкую резиновую мембрану 4 (толщина мембранны в растянутом состоянии  $\approx 0,005$  мм, увеличение площади  $\sim 10$  раз). Металлическая трубка и объем имели автономные системы вакуумирования, газопитания и контроля. Первоначально систему вакуумировали до давления  $\sim 1$  мм рт. ст., затем осуществлялся напуск смесей. Давление и перепад при напуске контролировали образцовыми вакуумметрами с ценой деления 0,004 атм. Дополнительным индикатором выравнивания давлений в трубке и объеме служила сама мембрана: при несовпадении давлений она прогибалась в ту или иную сторону. Использовались газы  $2\text{H}_2 + \text{O}_2$  и  $\text{C}_2\text{H}_2 + 2,5\text{O}_2$ .

После напуска смесей и подготовки регистрирующей аппаратуры подавали сигнал на электромагнит 5, на сердечнике которого закреплена острые стальная игла 6. Острый конец иглы выпрыгивал над поверхностью фланца на высоту  $\sim 3$  мм, прокалывая при этом мембрану, которая под действием сил упругости стягивалась с фланца, освобождая при этом вы-

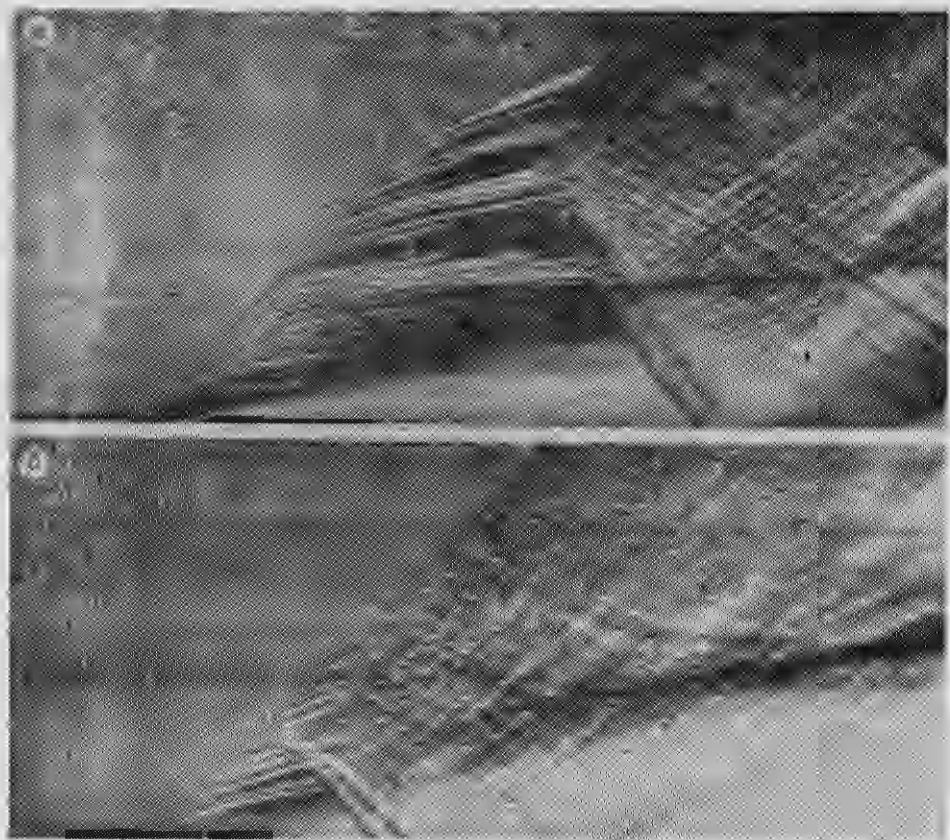


Рис. 2.

ходное отверстие трубы. Сильное натяжение мембранны обеспечивало однородное ее сдергивание с фланца. Конструктивно игла с целью максимального ослабления ее воздействия на процесс реинициирования детонации в объеме была удалена на расстояние 40 мм от оси трубы. После стягивания мембранны с фланца через время  $\sim 10$  мс с помощью высоковольтного разряда инициировалась детонация в трубке: емкость питающего конденсатора  $C = 1$  мкФ, напряжение  $U = 7$  кВ; вблизи разрядника располагался турбулизатор I для более быстрого перехода горения в детонацию при низких давлениях смеси.

Распространение процесса при выходе волны из трубы в объем регистрировали камерой СФР, оптически сопряженной с шлирен-установкой. Скорость развертки 15 000 об/мин. Источником света служила импульсная лампа ИПФ-250. В металлической трубке вблизи ее выхода в объем по периферии располагалась также закопченная металлическая фольга 3 для регистрации следовых отпечатков детонации. Особо отметим, что размытие границы смесей за счет движения мембранны и турбулизации прилегающих слоев газа, как показали эксперименты, к моменту прихода детонации на границу раздела составляло менее 1 мм.

В экспериментах, когда трубка и объем были заполнены одинаковым составом, резиновая мембрана не использовалась. Исследованы следующие комбинации газов: 11 —  $(C_2H_2 + 2,5O_2) \rightarrow (C_2H + 2,5O_2)$ , 22 —  $(2H_2 + O_2) \rightarrow (2H_2 + O_2)$ , 12 —  $(C_2H_2 + 2,5O_2) \rightarrow (2H_2 + O_2)$  и 21 —  $(2H_2 + O_2) \rightarrow (C_2H_2 + 2,5O_2)$ ; первым указан инициатор, расположенный в трубке, вторым — инициируемый состав в объеме.

На рис. 2 приведены типичные фоторазвертки критического выхода: а) однородная смесь  $2H_2 + O_2$ ,  $p_*^{22} = 0,85$  атм; б) инициатор  $C_2H_2 + 2,5O_2$ , в объеме —  $2H_2 + O_2$ ;  $p_*^{12} = 0,65$  атм.

**Обсуждение результатов.** В работе [4] в качестве критической энергии инициирования сферической детонации  $E_{3*}$ , возбуждаемой при переходе детонации из трубы в объем, предложено считать работу расширения продуктов самоподдерживающейся детонации при их истечении из трубы критического диаметра в объем за время распространения волны разрежения от стенок трубы до ее оси, т. е.

$$E_{3*} = \int_0^{d_{**}/2c_{10}} puSdt = \frac{\pi p_{10} u_{10}}{24c_{10}} d_{**}^3. \quad (1)$$

Здесь  $p$ ,  $u$ ,  $c$  — соответственно давление, массовая скорость и скорость звука в продуктах детонации;  $S$  — площадь невозмущенного фронта;  $t$  — время; соответствующие параметры продуктов детонации Чепмена — Жуге отмечены индексом 10. Формула (1) получена при условии постоянства этих параметров.

Подобный подход к определению  $E_{3*}$  в дальнейшем продемонстрирован в [5, 6]. Эти работы по выходу детонации относятся к случаю, когда состав газа одинаков во всех сечениях. При этом переходный режим есть следствие воздействия лишь боковой волны разрежения, возникающей в момент выхода детонации в объем. Если же сечение выхода одновременно является границей раздела двух газов, то наряду с боковой возникает продольная (вдоль оси трубы) волна разрежения вследствие распада детонационной волны на границе двух сред. В этом случае в формуле (1) следует заменить параметры истечения продуктов детонации Чепмена — Жуге на соответствующие величины, полученные при расчете задачи о распаде разрыва, когда по одну сторону разрыва находятся движущиеся продукты детонации газа-инициатора, а по другую — нереагирующая инициируемая смесь [7]. Отметим, что характер возникающих при распаде воли зависит от состава контактирующих газов.

Взаимосвязь критического давления выхода  $p_*$  с диаметром трубы  $d_{**}$  для каждой из упомянутых выше комбинаций газов (11, 22, 12, 21) представлена на рис. 3. Для трубы с  $d = 26$  мм экспериментально определены следующие значения  $p_*$ , при которых происходит инициирование детонации в объеме:  $p_*^{11} = 0,07$ ,  $p_*^{22} = 0,85$ ,  $p_*^{12} = 0,65$  и  $p_*^{21} = 0,09$  атм. Приводимые величины  $p_*$  являются усредненными, поскольку инициирование в объеме с равной вероятностью может осуществляться и при  $p_*$ , отличающихся от усредненной величины на  $\pm 5\%$ .

Рассмотрим, например, инициирование в объеме смеси  $2\text{H}_2 + \text{O}_2$ . Пусть для некоторого диаметра трубы  $(d_{**})_1$  (см. рис. 3) определены давление  $p_*^{22}$  выхода детонации в объем из трубы, заполненной тоже  $2\text{H}_2 + \text{O}_2$ , и  $p_*^{12}$ , когда трубка заполнена  $\text{C}_2\text{H}_2 + 2,5\text{O}_2$ . Давлению  $p_*^{12}$  в случае однородного состава  $2\text{H}_2 + \text{O}_2$  соответствует диаметр выхода  $(d_{**})_2$ . Согласно [5, 8], взаимосвязь  $d_{**}$  и  $p_*$  может быть представлена в виде

$$d_{**} = \text{const } p_*^{-\alpha}, \quad (2)$$

поэтому

$$(d_{**})_2 = (d_{**})_1 (p_*^{12}/p_*^{22})^{-\alpha}. \quad (3)$$

Если формула (1) соответствует энергетическому эквиваленту выхода, то энергия инициирования детонации в  $2\text{H}_2 + \text{O}_2$  при  $p_*^{12}$  находится из выражения

$$E_{3*} = \frac{\pi p_{10} u_{10}}{24c_{10}} p_*^{12} (d_{**})_1^3 = \frac{\pi p_{10} u_{10}}{24c_{10}} p_*^{12} \left( \frac{p_*^{22}}{p_*^{12}} \right)^{3\alpha} (d_{**})_1^3, \quad (4)$$

где индексом 10 отмечены параметры детонации Чепмена — Жуге для  $2\text{H}_2 + \text{O}_2$ . Если инициатором служит  $\text{C}_2\text{H}_2 + 2,5\text{O}_2$ , то в  $2\text{H}_2 + \text{O}_2$ , согласно (1), перекачивается энергия

$$E = \frac{\pi p_{12} u_{12}}{24c_{12}} p_*^{12} (d_{**})_1^3, \quad (5)$$

где индексом 12 отмечены параметры распада на границе этих смесей. По смыслу энергия в (5) должна быть равна  $E_{3*}$  из (4), тогда  $p_*^{12}$ , при котором происходит инициирование в объеме  $2\text{H}_2 + \text{O}_2$  с помощью выходящей в объем трубы с  $\text{C}_2\text{H}_2 + 2,5\text{O}_2$ , определяется через давление  $p_*^{22}$  обычного выхода детонации из трубы в объем следующим соотношением:

$$p_*^{12} = p_*^{22} \sqrt[3\alpha]{\frac{\pi_{10}}{\pi_{12}} \cdot \frac{u_{10}}{u_{12}} \cdot \frac{c_{12}}{c_{10}}}. \quad (6)$$

Для последующих оценок привлечем данные равновесных расчетов параметров детонационных волн [9]. При  $p_0 = 0,65$  атм для  $2\text{H}_2 + \text{O}_2$   $\pi_{10} = 18,6$ ,  $u_{10} = 1285$  м/с,  $c_{10} = 1530$  м/с. Задача о распаде продуктов детонации  $\text{C}_2\text{H}_2 + 2,5\text{O}_2$  с параметрами  $\pi_{10} = 33,3$ ,  $u_{10} = 1100$  м/с,  $c_{10} = 1300$  м/с,  $\gamma_e = 1,13$  дает следующие параметры распада:  $\pi_{12} = 19$ ,  $u_{12} = 1740$  м/с,  $c_{12} = 1260$  м/с. Отметим, что неопределенность скорости звука (от равновесной до замороженной) продуктов детонации вносит несущественную ошибку в определение параметров распада. Подставляя в (6) найденные величины с учетом равенства  $\alpha = 0,89$  для  $2\text{H}_2 + \text{O}_2$  [10], получаем  $p_*^{12} = 0,82p_*^{22}$ . Соотношение экспериментальных величин  $p_*^{12}/p_*^{22} = 0,65/0,85 = 0,76$ .

Аналогичные рассуждения для инициирования в объеме  $\text{C}_2\text{H}_2 + 2,5\text{O}_2$  с помощью  $2\text{H}_2 + \text{O}_2$  дают расчетное по (6) соотношение  $p_*^{21} = 1,25p_*^{11}$  (для  $\text{C}_2\text{H}_2 + 2,5\text{O}_2$   $\alpha = 0,89$ ), эксперимент дает  $p_*^{21}/p_*^{11} = 0,09/0,07 = 1,28$ , т. е. рассчитанные с помощью (1) и экспериментальные  $p_*^{12}$  и  $p_*^{21}$  близки друг к другу, что указывает на правомерность использования формулы (1) в качестве оценочной при определении критической энергии инициирования детонации с помощью выхода.

Расчеты показывают, что  $p_*^{12}$  из (6) практически не меняется, если в (6) параметры распада заменить параметрами детонации инициирующей смеси. Тогда (6) можно упростить:

$$p_*^{12} = p_*^{22} \sqrt[3\alpha]{\frac{(\pi_{10})_2}{(\pi_{10})_1}}, \quad (7)$$

где индексом 1 отмечена инициирующая, а 2 — инициируемая смеси.

Использование для  $E_{3*}$  других, отличных от (1), выражений, например

$$E_{3*} = \frac{\rho_{10}}{\gamma_e - 1} \frac{\pi}{6} d_{**}^3,$$

$$E_{3*} = \rho_{10} Q \frac{\pi}{6} d_{**}^3$$

( $\rho$  — плотность продуктов;  $Q$  — тепловой эффект реакции), дает большие отклонения расчетных и экспериментальных критических величин давлений инициирования.

Таким образом, в данной работе экспериментально подтверждено, что для оценочных расчетов энергетическим эквивалентом выхода детонации следует считать работу расширения продуктов детонации при ее выходе из трубы в объем.

Поступила в редакцию 1/XI 1983,  
после доработки — 7/II 1984

## ЛИТЕРАТУРА

1. Я. Б. Зельдович, С. И. Когарко, Н. Н. Симонов. ЖТФ, 1956, 26, 8, 1744.
2. А. Н. Дремин и др. Детонационные волны в конденсированных средах. М.: Наука, 1970.
3. R. A. Strehlow, A. A. Adamczyk, R. J. Stiles. Astr. Acta, 1972, 17, 4—5, 509.
4. J. H. Lee, H. Matsui. Comb. Flame, 1977, 28, 61.
5. H. Matsui, J. H. Lee. 17-th Symp. (Intern.) on Combustion. Pittsburgh, Pa: Combust. Inst., 1978.
6. R. Knystautas, J. H. Lee, C. M. Guirao. Comb. Flame, 1982, 48, 63.
7. Л. В. Овсянников. Лекции по основам газовой динамики. М.: Наука, 1981.
8. А. А. Васильев, В. В. Григорьев. ФГВ, 1980, 16, 5.
9. Ю. А. Nikolaev, M. E. Topchyan. ФГВ, 1977, 13, 3.
10. А. А. Васильев. ФГВ, 1983, 19, 1.

## О ПЛАСТИЧЕСКОЙ ДЕФОРМАЦИИ В ЗОНЕ СОЕДИНЕНИЯ ПРИ ПЛАКИРОВАНИИ ВЗРЫВОМ

*M. P. Бондарь, B. M. Оголихин*

(*Новосибирск*)

1. Одним из факторов, определяющих образование надежного соединения при плакировании взрывом, является совместная пластическая деформация соударяющихся поверхностей [1—5].

В работе [1] для определения деформации в зоне соединения использован метод «касательных сеток». Сетку наносили на полированные и протравленные грани образцов с помощью микротвердомера ПМТ-3. Исходные сетки фотографировали перед запрессовкой образцов в колодцы, выфрезерованные в центральной части соединяемых пластин. После плакирования образцы извлекали из пластин, вновь фотографировали и по линейным и угловым искажениям ячеек сетки определяли деформацию сдвига. В работе получена зависимость величины «смещения» материала в направлении сварки взрывом  $x$  от расстояния до шва  $y$  в виде

$$x = x_0 \exp(-B\sqrt{y}). \quad (1)$$

Кроме того, установлена зависимость прочности соединения от величины деформации в зоне соединения.

В работе [2] для определения смещения металла в направлении перемещения точки контакта применена методика, по которой в метаемой пластине просверливают отверстие, а в неподвижной фрезеруют канавку, в которые запрессовывают проволоку и соответствующую вставку из материала пластин. Для четкого выявления границы раздела вставку запаивают медью или серебряным припоеем с толщиной запайки, не превышающей 0,05 мм. По микрошлифам, вырезанным из сваренных пластин, определяли смещение. Величину смещения вблизи линии соединения не определяли. Зависимость смещения материала в направлении процесса сварки от расстояния до линии соединения, установленная в данной работе, несколько отличается от (1) и имеет вид

$$x = x_0 \exp(-By). \quad (2)$$

В [3] использовалась методика, подобная [2]. Общий недостаток приведенных методик — нарушение сплошности материала при установке меток, приводящее при последующем соударении к некоторой нерегулярности течения в местах их расположения и, следовательно, затрудняющее определение смещений вблизи соединения, которые играют основную роль в образовании связи между соударяемыми поверхностями.

В настоящей работе для определения пластической деформации в зоне соединения при плакировании взрывом предложен метод измерения деформации в зоне соединения по изменению направления и сечения двойников в материале соударяемых пластин.